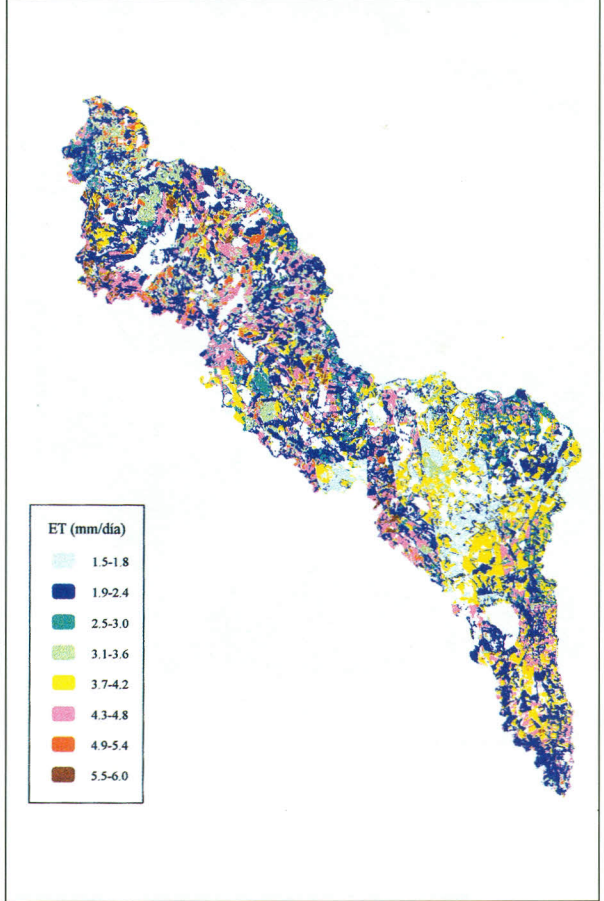
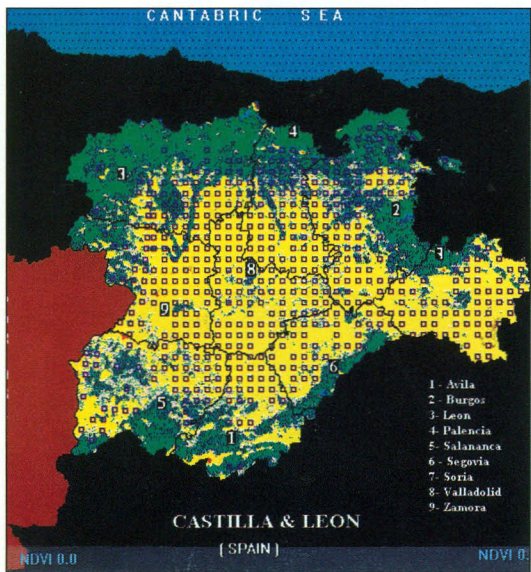


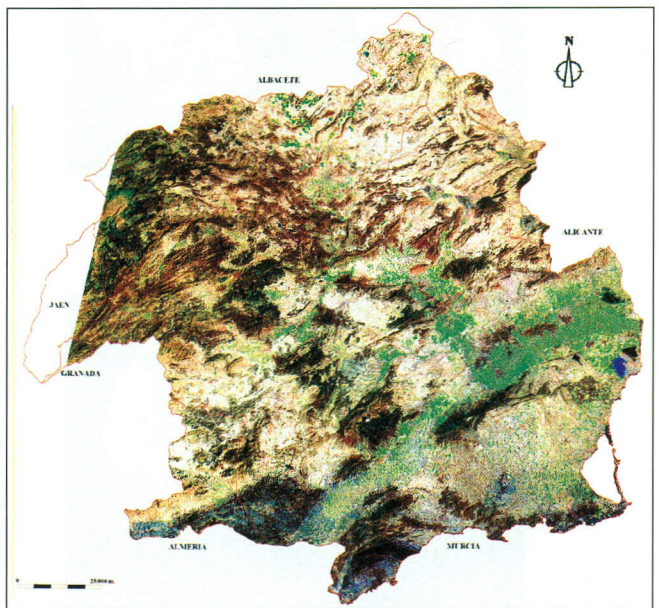
C.1. Clasificación automática multitemporal (p. 9).



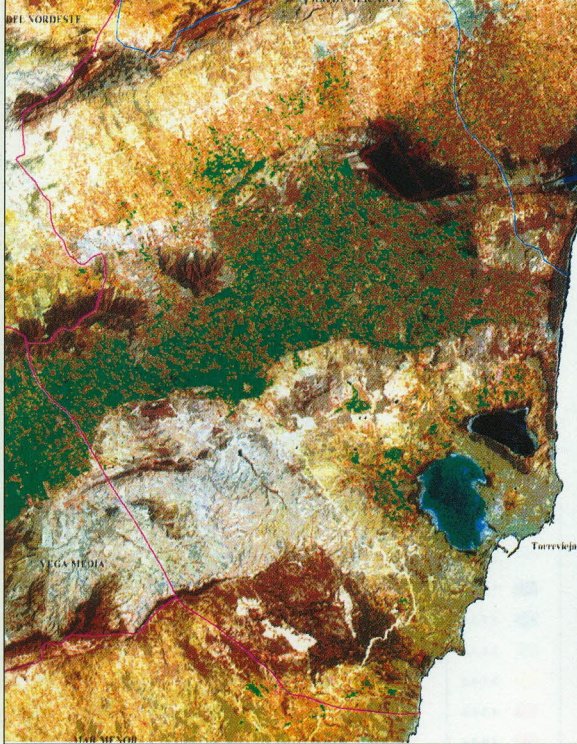
C.2. Imagen de evapotranspiración real (p. 10).



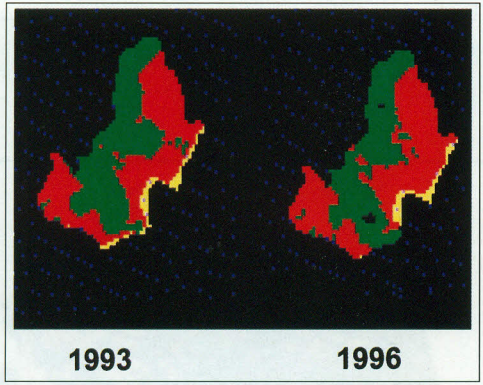
C.3. Imagen de la suma acumulada del NDVI dividida por el número de días de la suma (NDVI medio del ciclo), en el ciclo marzo-septiembre. Sobre la imagen localizamos los segmentos utilizados en la campaña 1993 (p. 35).



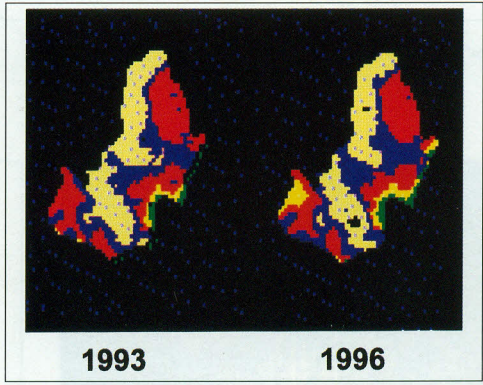
C.4. Imagen Landsat TM, combinación falso color 543, del 23-7-1991. Comprende la práctica totalidad de la cuenca (p. 43).



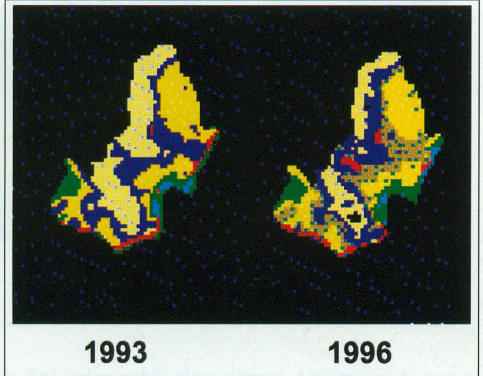
C.5. Zona Sur ded Alicante. Evolución de la superficie en regadío entre 1975 y 1993 (p. 45).



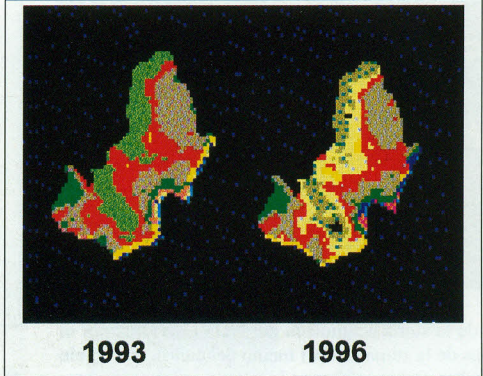
C.6. (p. 57)



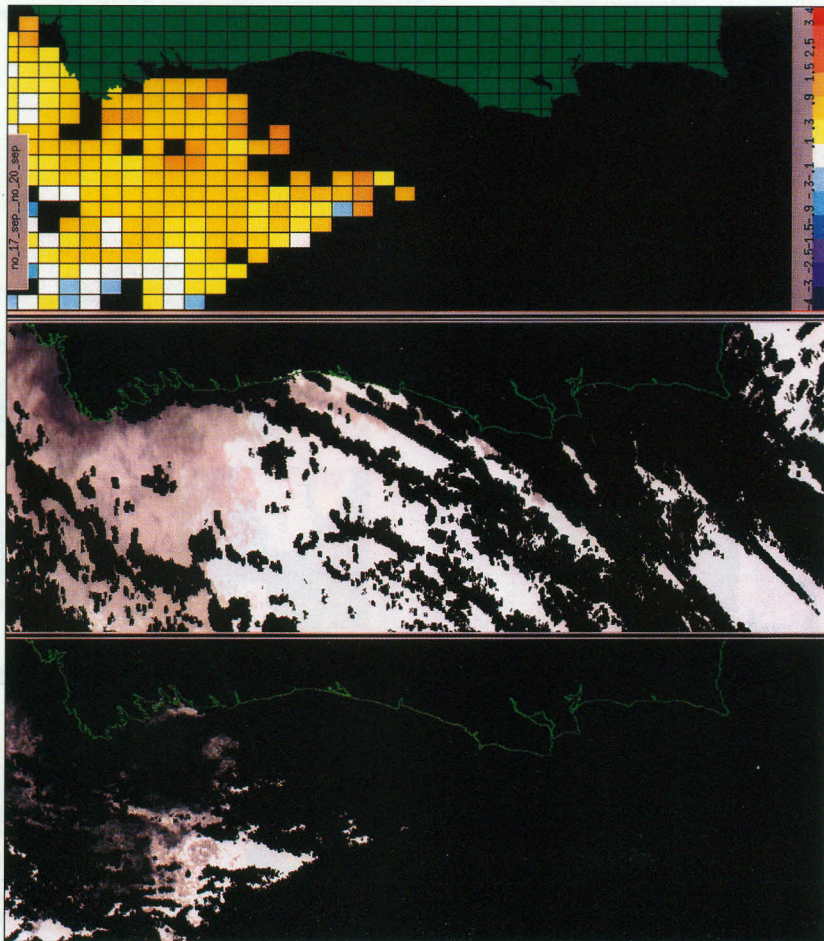
C.7. (p. 57)



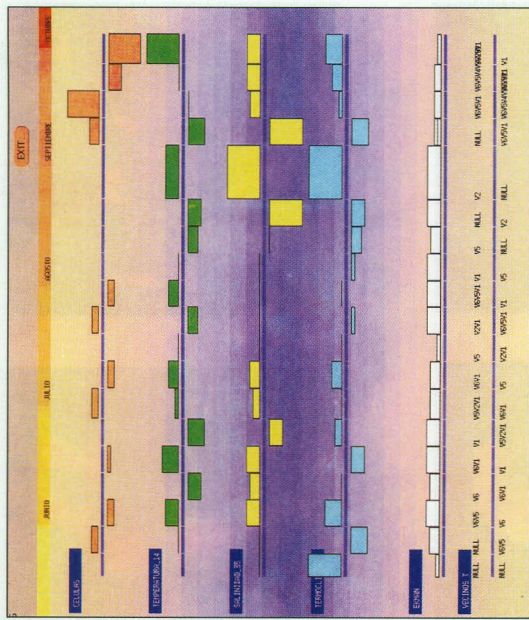
C.8. (p. 57)



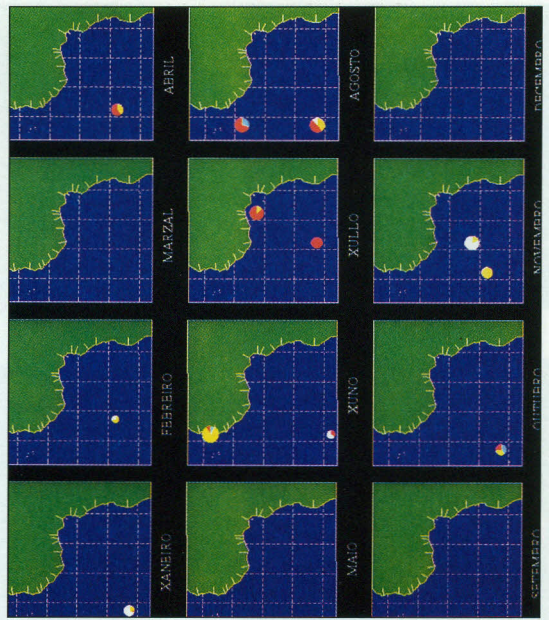
C.9. (p. 57)



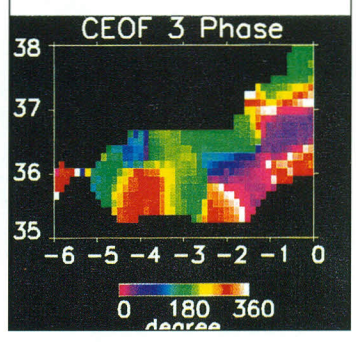
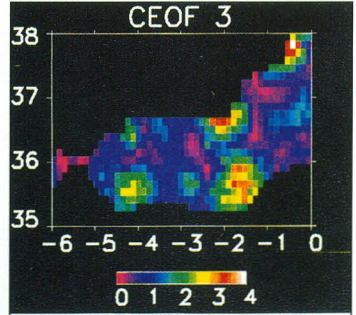
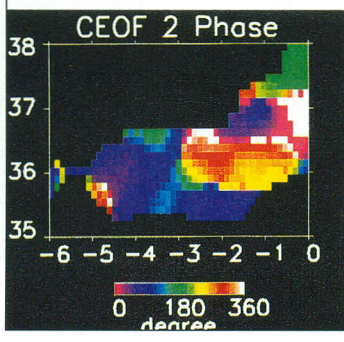
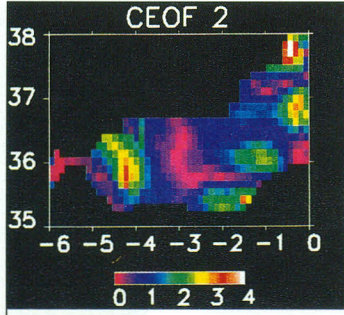
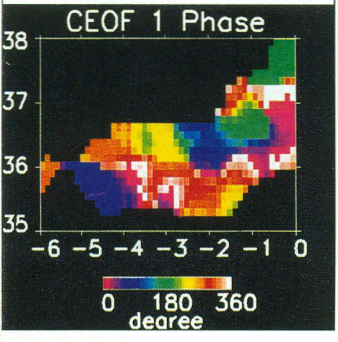
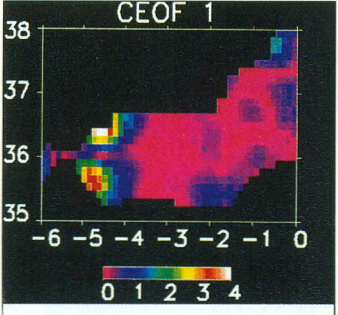
C.10. Imágenes térmicas correspondientes al 17 y 20 de Septiembre, resultado del algoritmo (p. 75).



C.11. Representación de los resultados del estudio de una boya por Simaro en 1993 (p. 76).



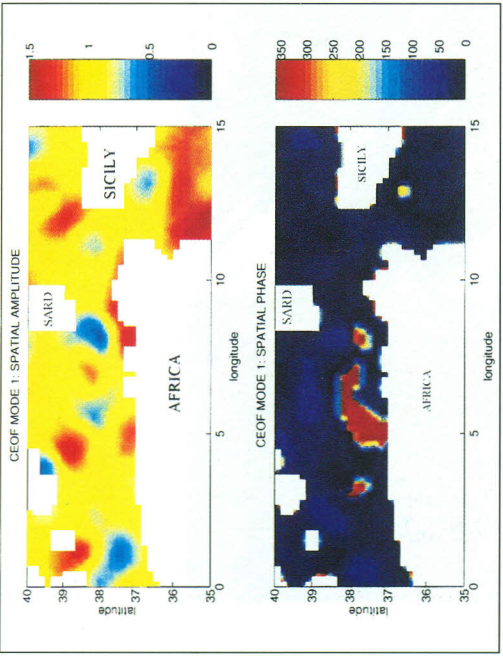
C.12. Imagen anual para el estudio de la distribución temporal (p. 82).



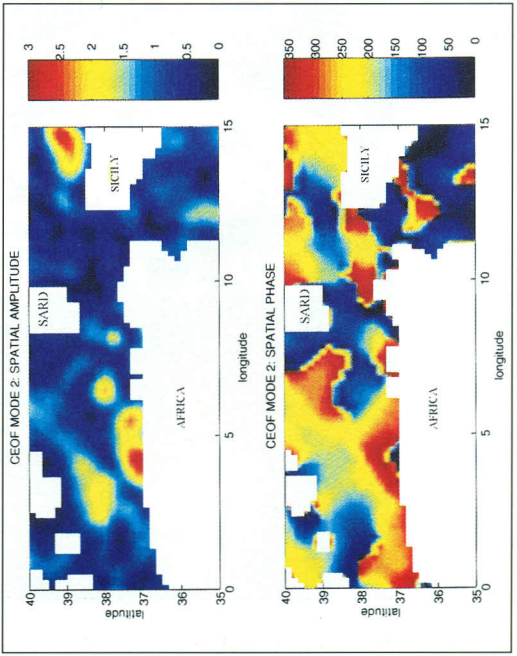
C.13a. Amplitud (normalizada) y fases espaciales del primer modo en la cuenca de Alborán.

C.13b. Amplitud (normalizada) y fases espaciales del segundo modo en la cuenca de Alborán.

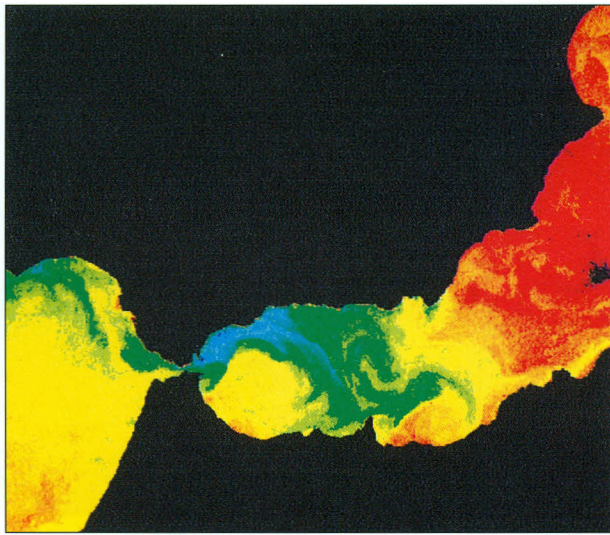
C.13c. Amplitud (normalizada) y fases espaciales del tercer modo en la cuenca de Alborán (p. 95).



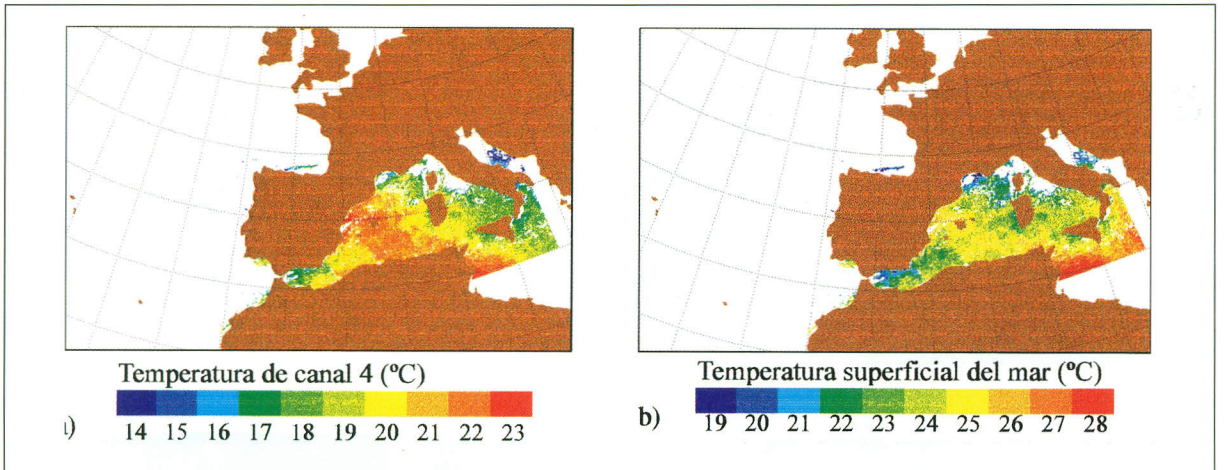
C.14a. Amplitud (normalizada) y fases espaciales del primer modo en la cuenca Argelina.



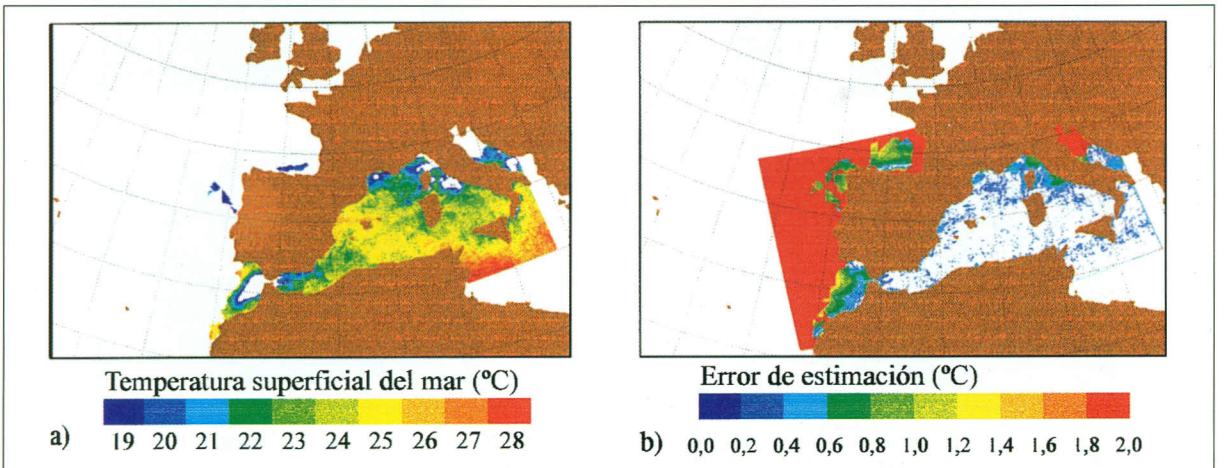
C.14b. Amplitud (normalizada) y fases espaciales del segundo modo en la cuenca Argelina (p. 98).



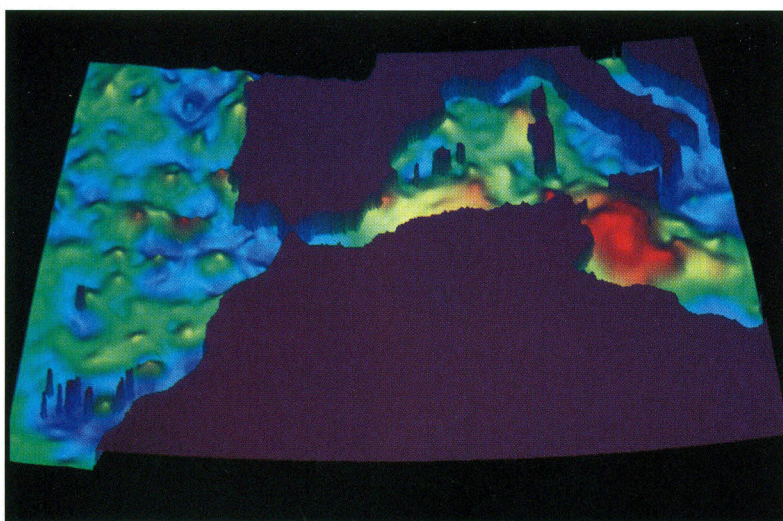
C.15. Mapa de temperatura superficial del día 11-Junio-1993 (p. 111).



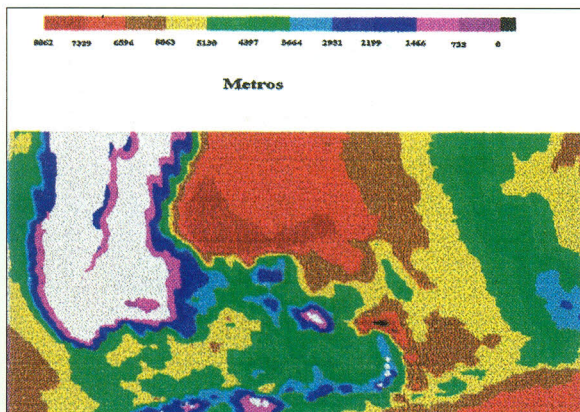
C.16. Mapas de temperatura de canal 4 (a), y de temperatura del agua del mar (b) (p. 131).



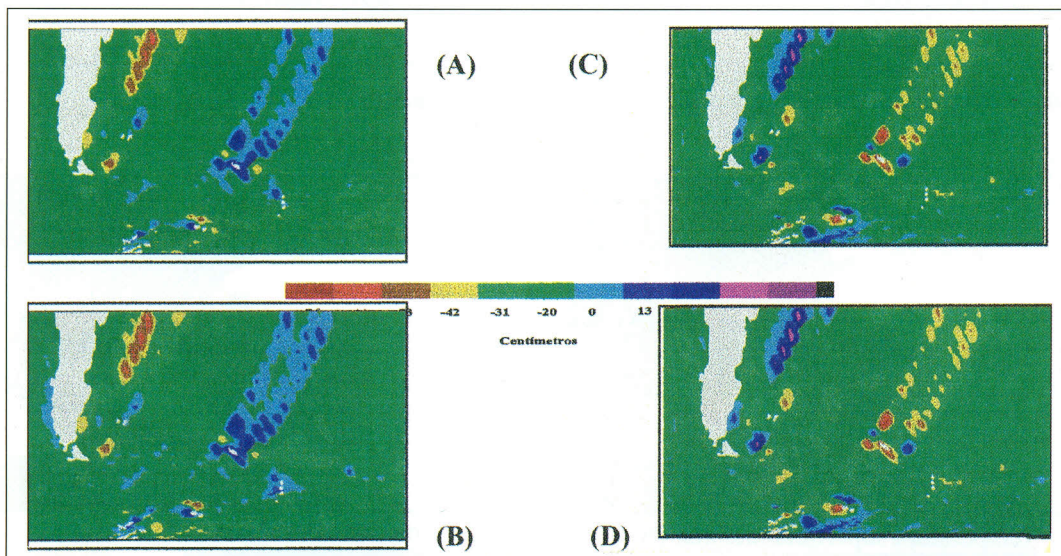
C.17. Resultado del proceso de estimación por krigeaje universal (p. 132).



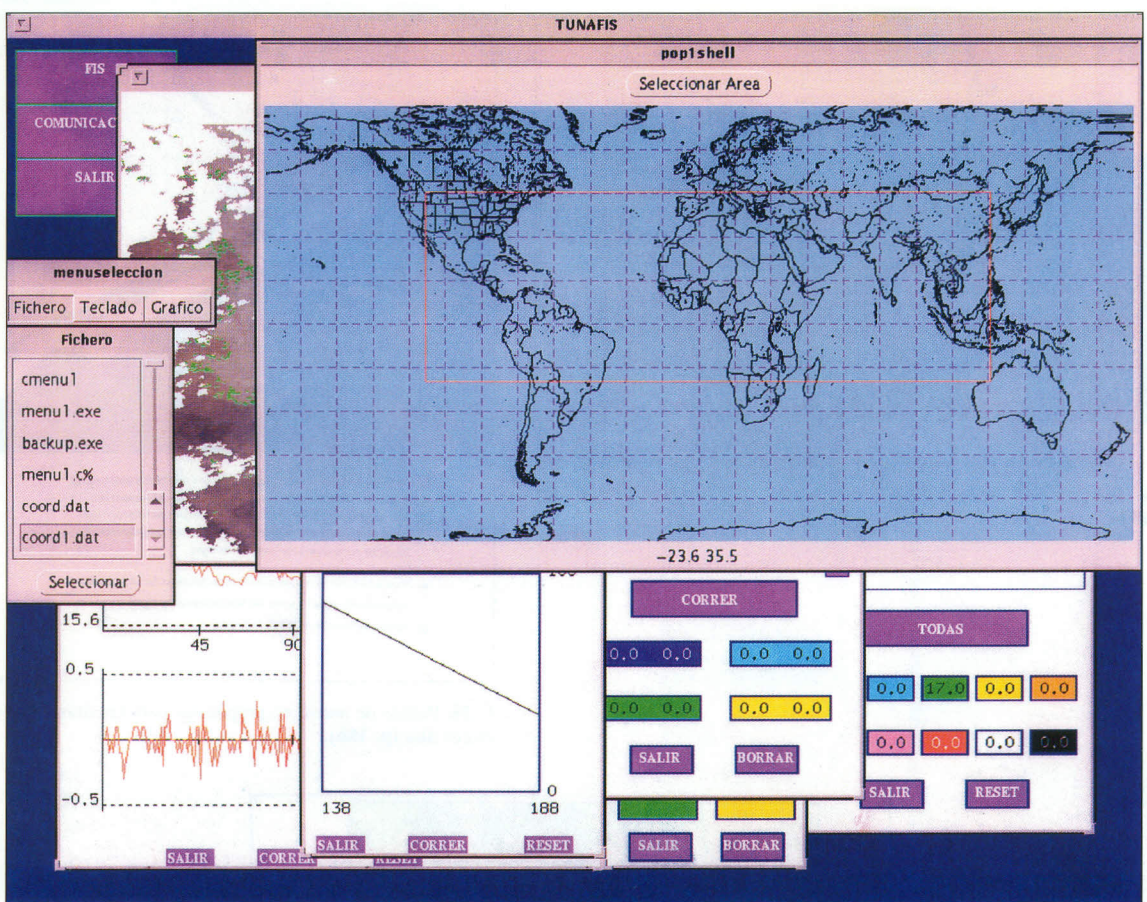
C.18. Topografía Oceánica Dinámica. Verano 1993. Topex/Poseidon (p. 138)



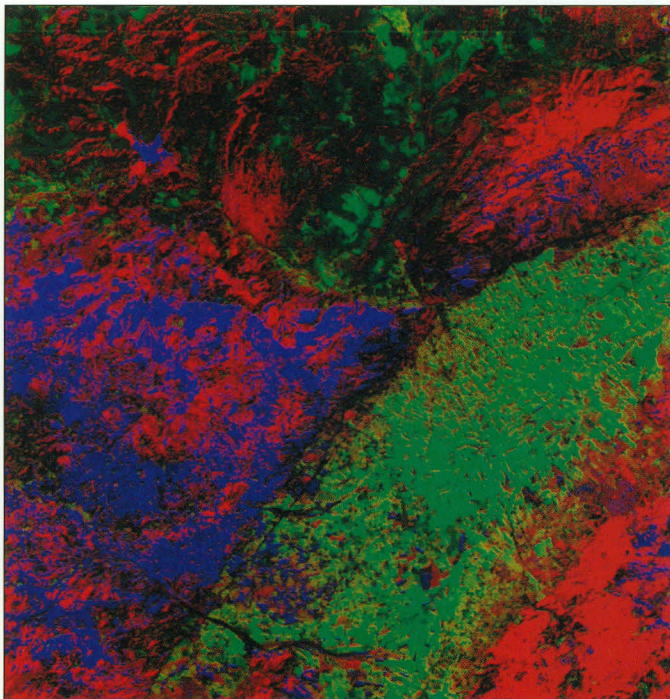
C.19. La batimetría del Arco del Scotia. Desde el punto de vista meramente geofísico, la zona presenta como elemento geográfico el Arco de "Scotia", nombre generalmente aplicado, a un accidente submarino muy amplio que materializa el enlace entre el cinturón montañoso de la Antártida y el Sur del continente americano y que utilizaremos como referencia para describir la zona. A occidente del arco del "Scotia" el punto triple de Bouvet muestra sobre el fondo oceánico el lugar de separación de tres de las siete principales placas, la Africana, la Sudamericana y la placa Antártica, en que tradicionalmente se considera fracturada la Litosfera (p. 147).



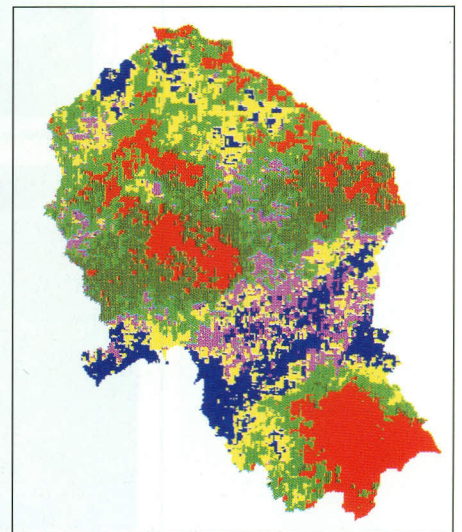
C.20. Variaciones estacionales de la Topografía dinámica del océano. (A) Primavera, B (Verano), C (Otoño), D (Invierno). Puede observarse que las situaciones se repiten en Primavera-Verano y Otoño-Invierno, presentándose en (A), (B) una situación anticiclónica al norte de las Islas Sandwich y una ciclónica al norte de Malvinas. Durante (C), (D) la situación aparece invertida (p. 149).



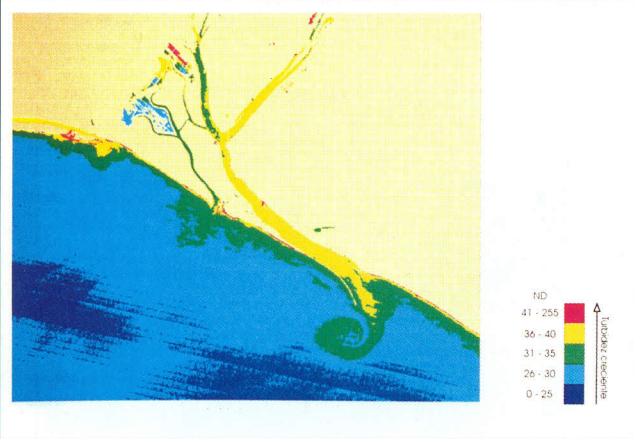
C.21. Subunidad del Sistema Central de Procesado (p. 157).



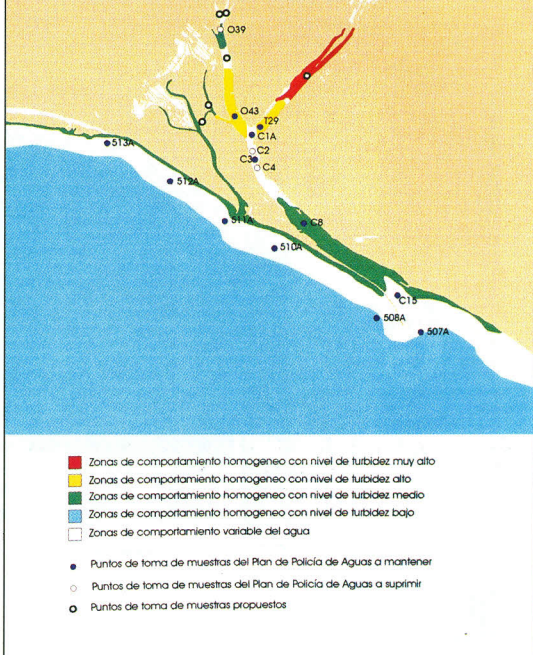
C.22. Falso color con las fracciones de vegetación obtenidas por medio del ACE (rojo=matorral, verde=cultivo, azul=bosque) (p. 169).



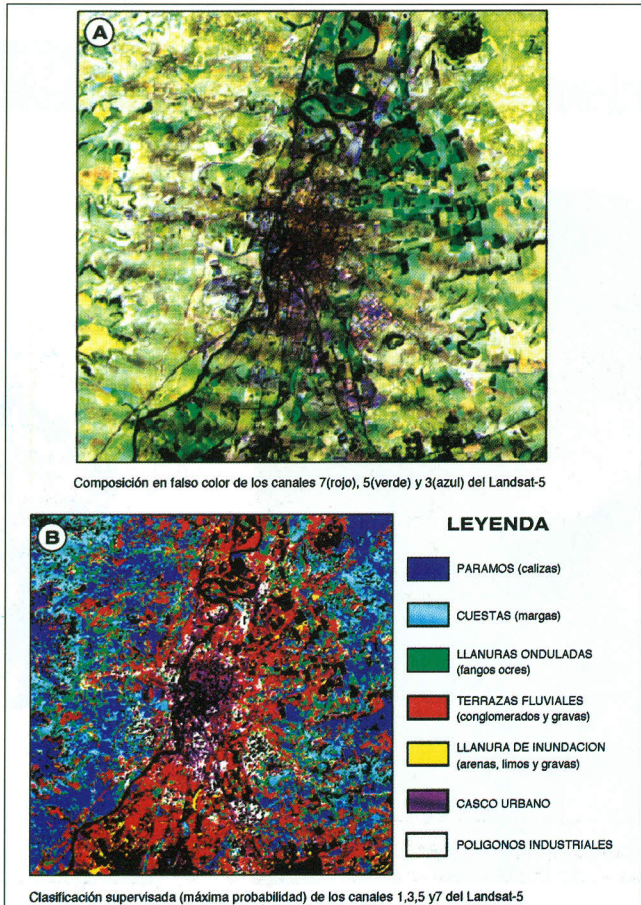
C.23. Agrupamiento estadístico de las temperaturas sobre el territorio (p. 177).



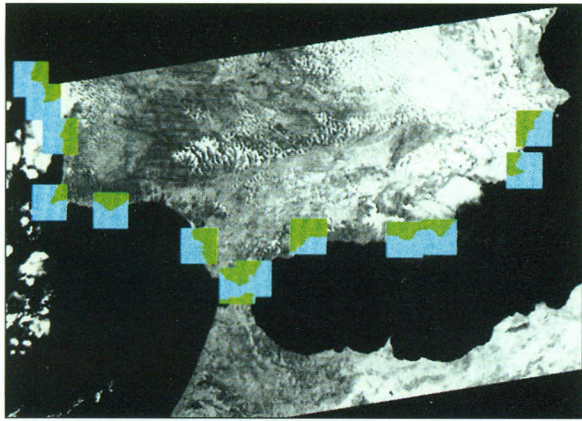
C.24. Imagen TM fecha 13/08/91 clasificada en 5 niveles de turbidez (p. 182).



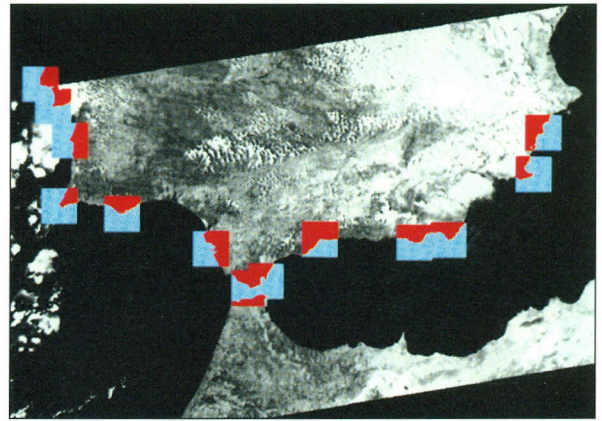
C.25. Puntos de muestreo propuestos para las situaciones de marea alta (p. 186).



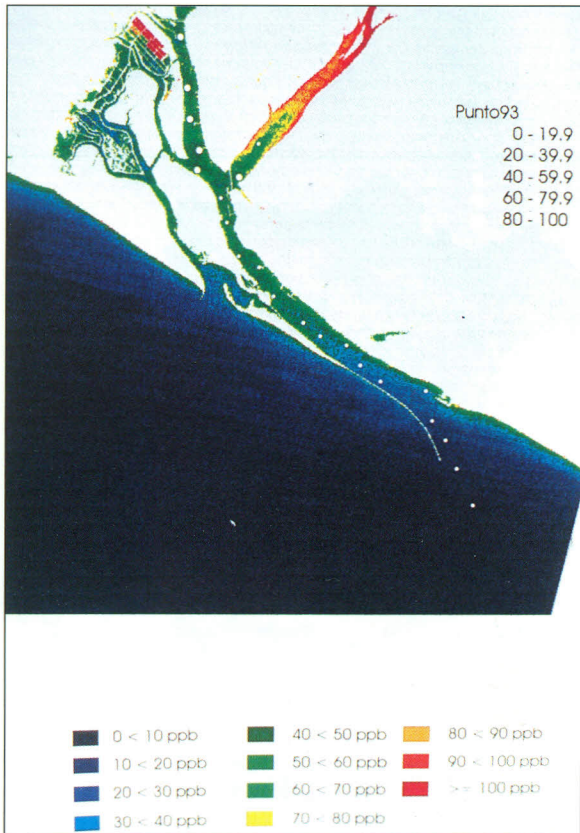
C.26. (p. 193)



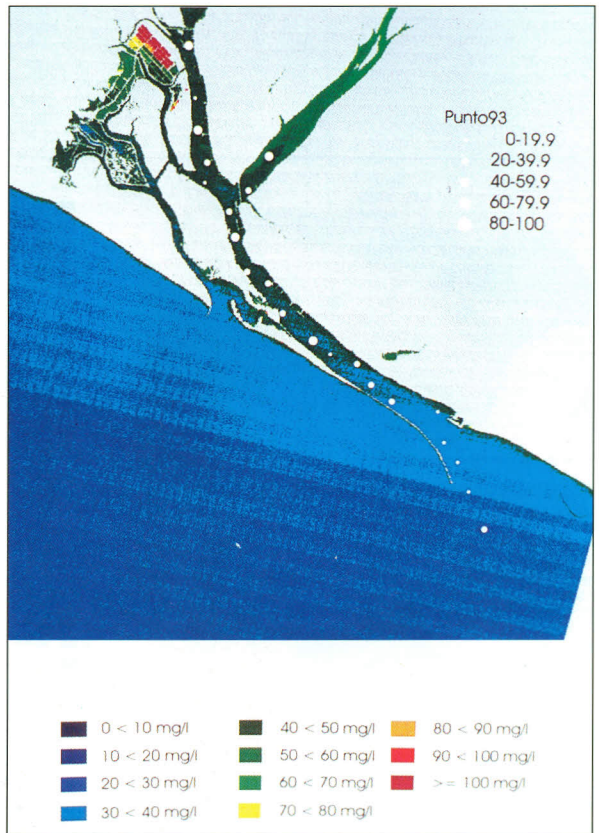
C.27. Superposición de ventanas de referencia sobre imagen corregida de primer nivel (p. 128).



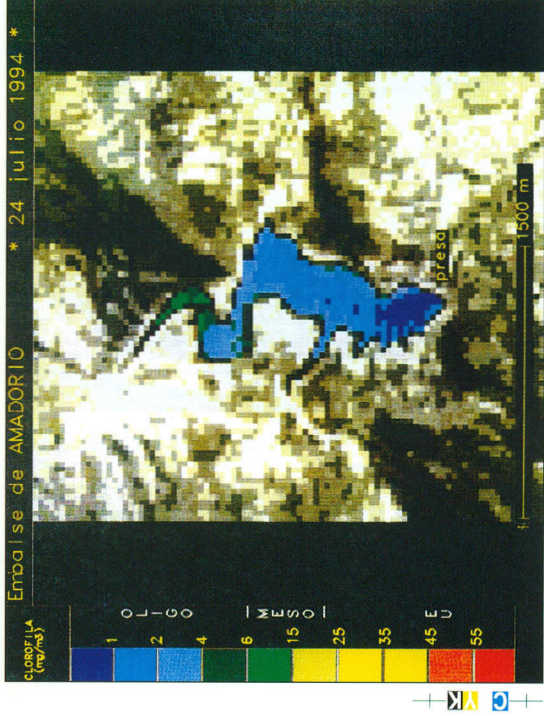
C.28. Superposición de ventanas de referencia sobre imagen corregida de tercer nivel (p. 198).



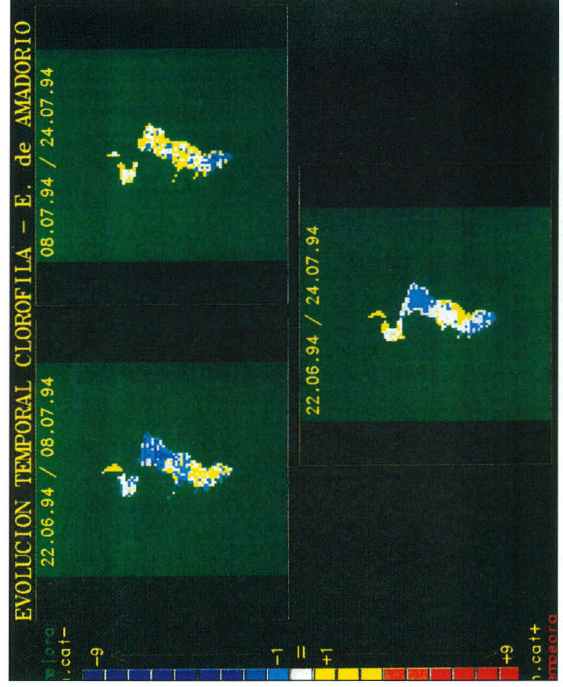
C.29. Distribución espacial de la clorofila a para el 15/06/93. Sobre ella se han representado los valores reales para cada punto de muestreo. (La ecuación empleada para la cuantificación ha sido derivada a partir de los datos de la campaña realizada el 25/11/94) (p. 209).



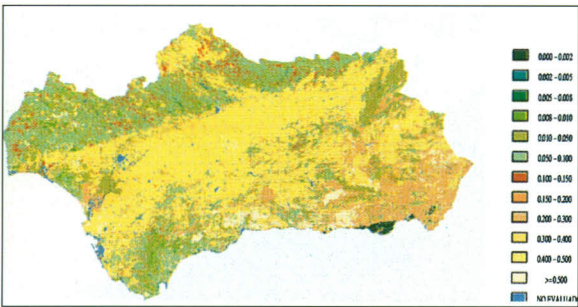
C.30. Distribución espacial de los sólidos en suspensión para el 15/06/93. Sobre ella se han representado los valores reales para cada punto de muestreo. (La ecuación empleada para la cuantificación ha sido derivada a partir de los datos de las campañas realizadas el 10/10/89, 15/06/93 y 25/11/94) (p. 20).



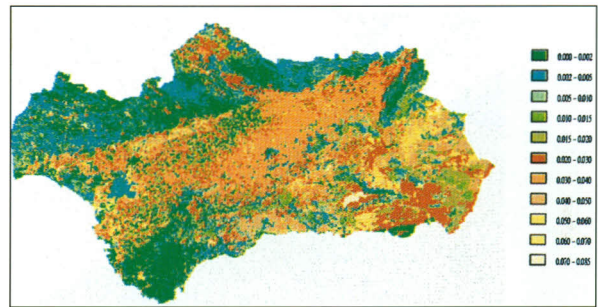
C.31. Mapa resultante de concentración de clorofila. (Landsat TM) (p. 227).



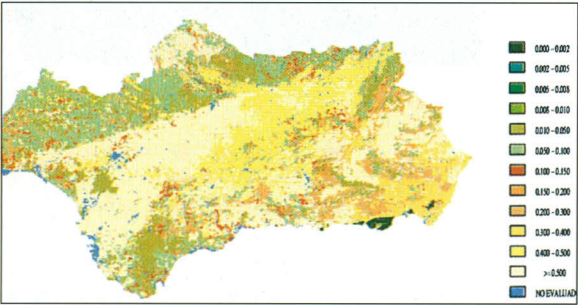
C.32. Evolución temporal de la clorofila de tres fechas del verano de 1994. (Landsat TM) (p. 227).



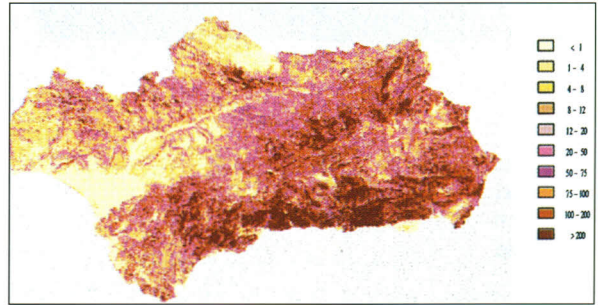
C.33a. Cálculo del factor C a partir de tablas fijas e imágenes Landsat. Año 1991.



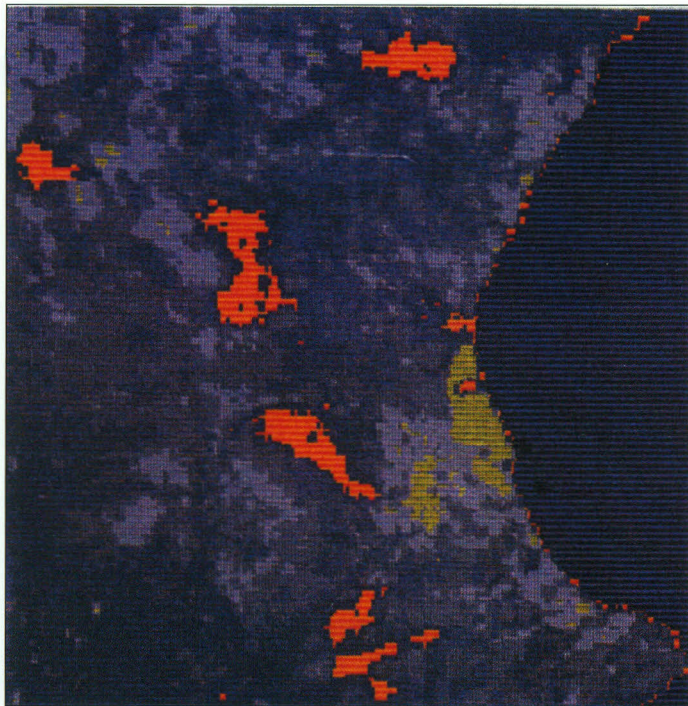
C.33b. Cálculo del factor C a partir de imágenes NOAA para un mes (Abril).



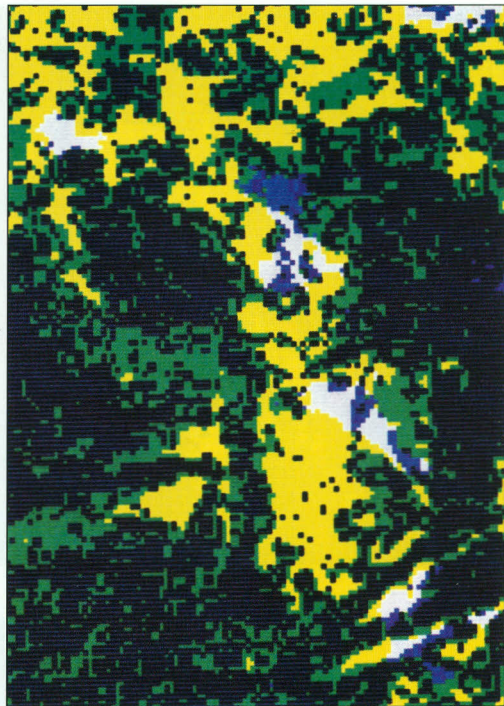
C.33c. Cálculo del factor C a partir de imágenes NOAA para un año (1994).



C.33d. Pérdidas de suelo estimadas (Tm/Ha/Año) a partir del modelo USLE con factor C calculado mediante imágenes NOAA. Año 1991 (p. 238).



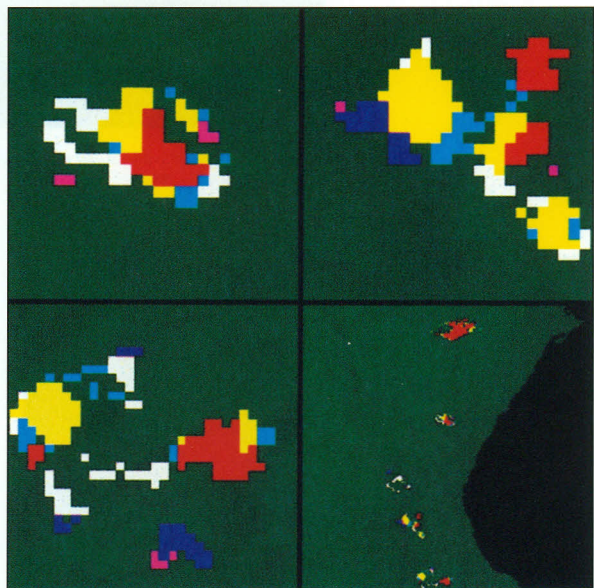
C.34. Grandes incendios forestales en el área en estudio (p. 252).



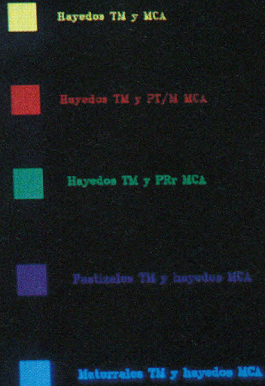
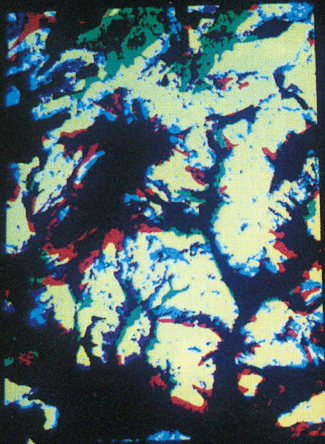
C.35. Riesgo de incendio forestal e incendios ocurridos en el área en estudio. En amarillo áreas de riesgo, en blanco áreas coincidentes de riesgo e incendios, en azul áreas incendiadas no de riesgo (p. 253).



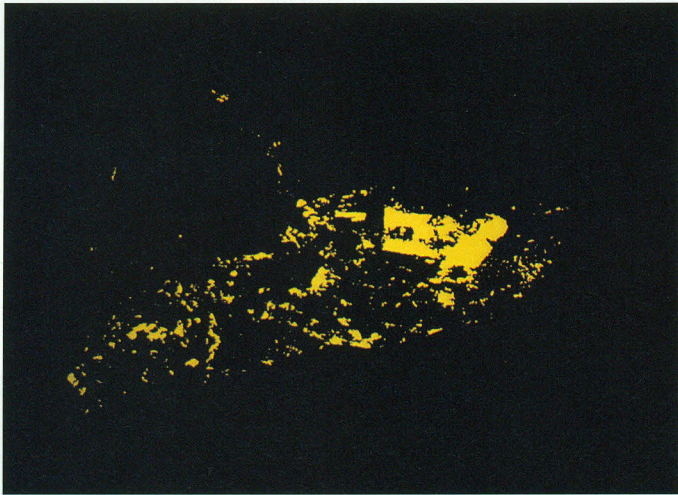
C.36. Imagen de peligro para el periodo del 2 al 11 de julio de 1994. Las áreas en peligro se indican en rojo superpuesta al NDVI-MVC de la misma época (p. 258).



C.37. Aplicación del algoritmo automático de detección a los grandes incendios del Levante de julio de 1994. Se observan cinco incendios simultáneos así como un zoom de tres de ellos. Las áreas activas corresponden a: día 4 a las 17.01 (rojo); día 4 a las 18.52 (amarillo); día 5 a las 05.23 (azul claro); día 6 a las 05.11 (blanco); día 7 a las 19.27 (azul oscuro) y día 8 a las 07.45 (rosa) (p. 260).



C.38. Los hayedos de Burón según el Mapa de Cultivos y Aprovechamientos y la clasificación supervisada de la información Landsat TM (p. 266).



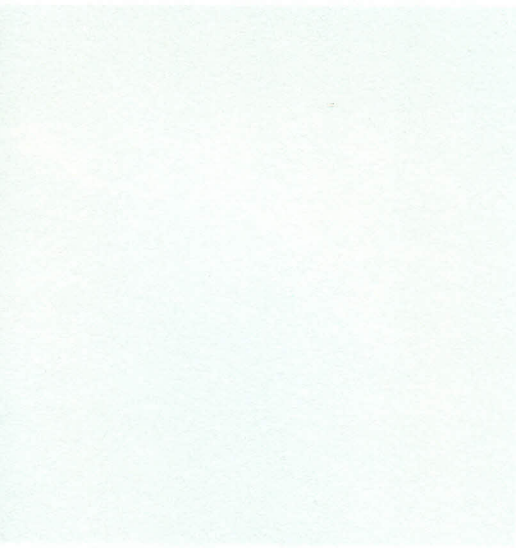
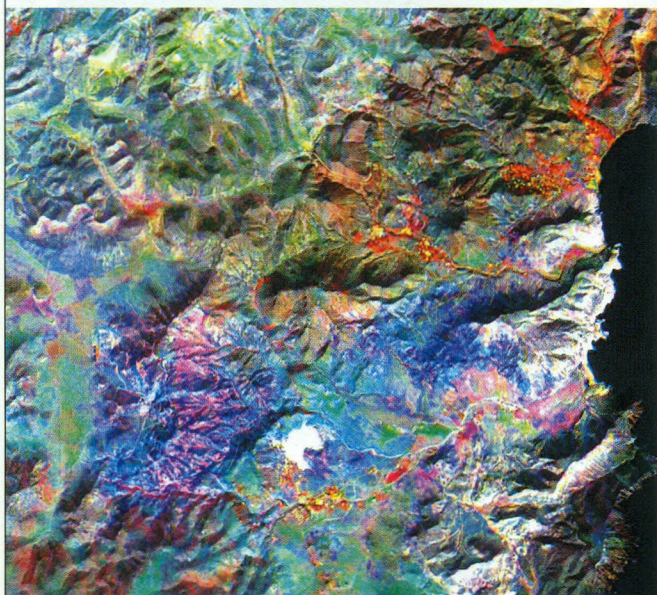
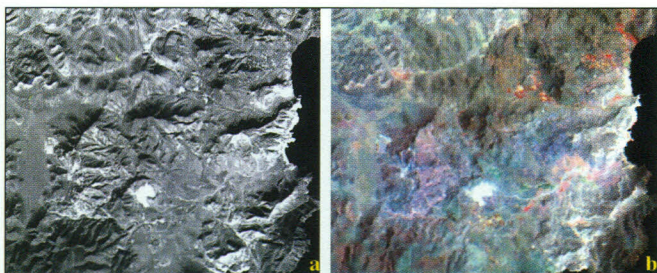
C.39. Eucaliptares en el área de estudio obtenidos a partir de información Landsat MSS (p. 270).



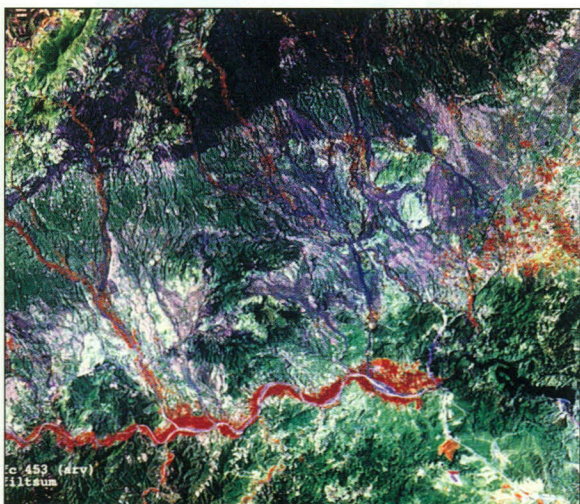
C.40. Información Landsat TM del área inventariada. Banda 4 en rojo, banda 3 en verde y banda 2 en azul (p. 275).



C.41. Estratos obtenidos a partir de información Landsat TM con la situación de las parcelas de campo del inventario. Estrato 1 verde oscuro, estrato 2 verde claro y estrato 3 ocre (p. 275).



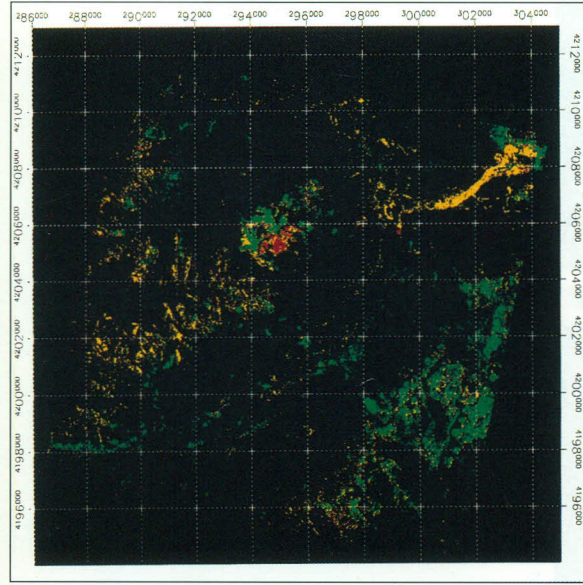
C.42. Imágenes del sector piloto de Rodalquilar: SPOT Pan (a), Landsat TM: composición RGB 475 (b) e integrada con TCP: composición RGB 475 (c) (p. 329).



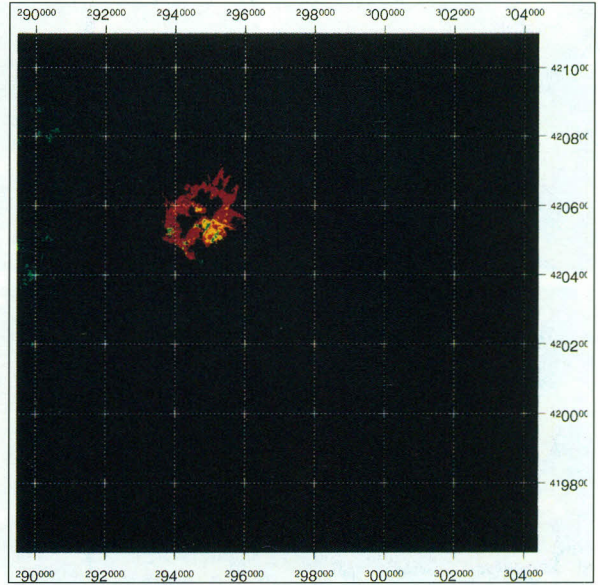
C.43. Composición en falso color (4, 5, 3) del sensor TM, tras la aplicación de un filtro laplaciano a cada una de las bandas (p. 334).



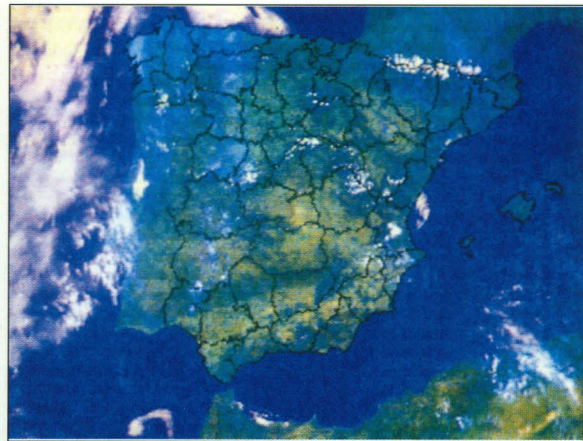
C.44. Composición TM en falso color georreferenciada con las unidades geomorfológicas superpuestas (p. 335).



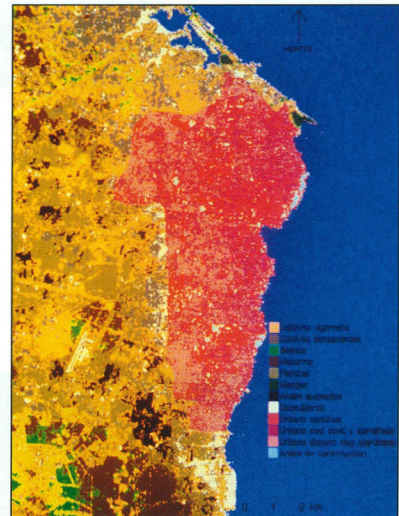
C.45. Resultado de la clasificación de la imagen TM utilizado el algoritmo SAM. Los espectros de referencia proceden de áreas de entrenamiento definidas sobre la misma imagen. Se han diferenciado tres tipos de suelos en la zona de alteración. La clase representada en rojo corresponde a la zona del depósito de alteración rica en alunita y kaolinita (p. 344).



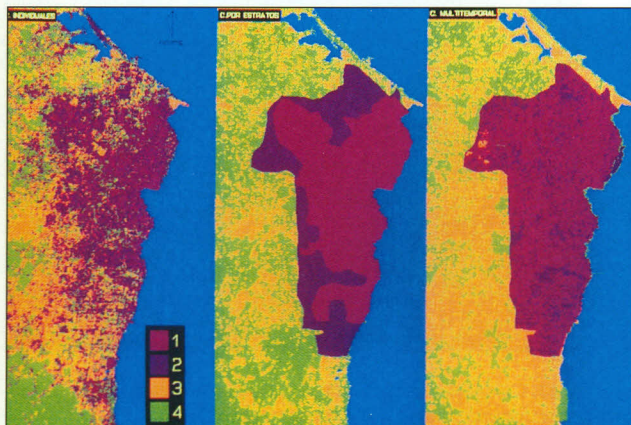
C.46. Cartografía obtenida a partir de la imagen AVIRIS aplicando el algoritmo de clasificación SAM. Los espectros de referencia proceden de una biblioteca espectral. En rojo se ha representado la zona de alunita, en verde kaolinita, en amarillo mezclas de ambos minerales (p. 345).



C.47. Imagen rectificada (31/05/1995) (p. 351).

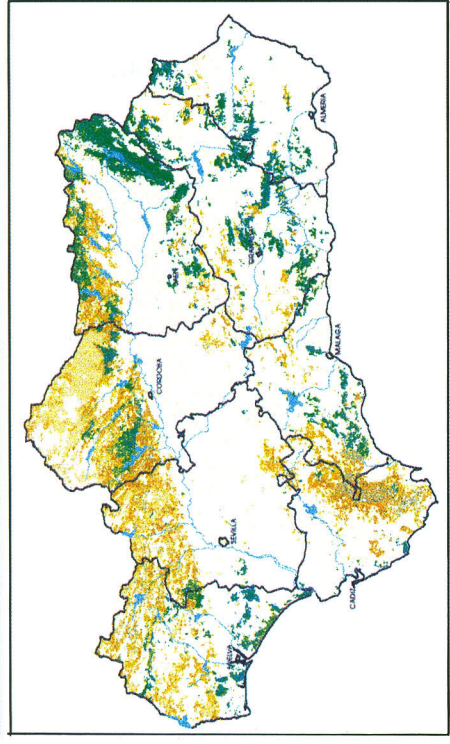


C.48. (p. 365).

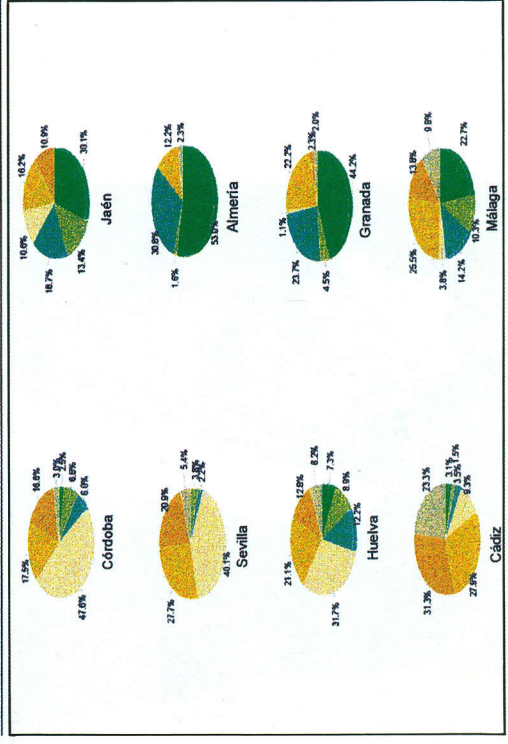


C.49. (p. 367).

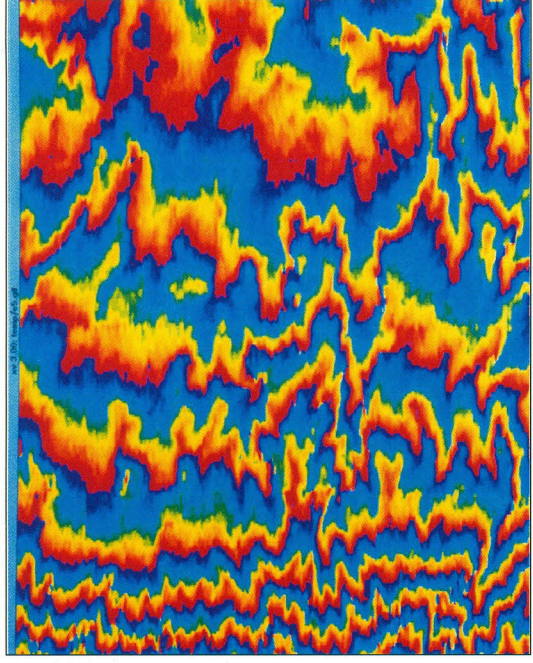
DISTRIBUCIÓN ESPACIAL Y ESTADÍSTICA DE LAS FORMACIONES ARBOLADAS DE QUERCÍNEAS Y CONIFERAS



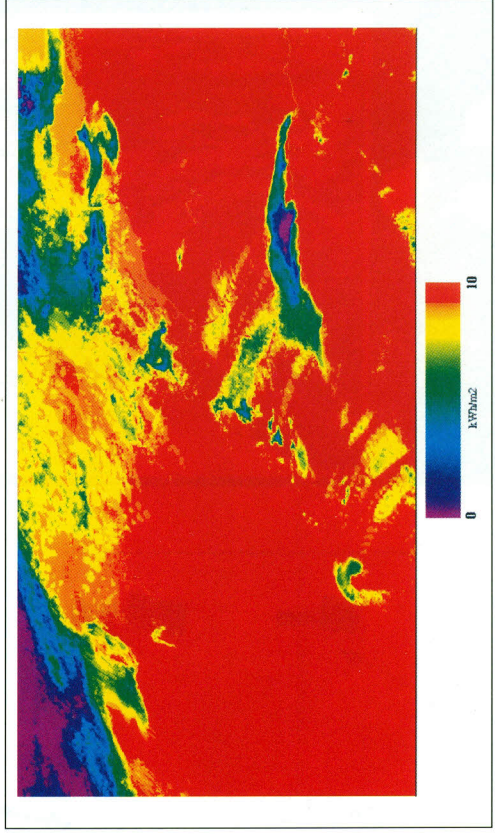
- Arbolado denso de Quercíneas
- Matorral denso con Quercíneas
- Matorral disperso con Quercíneas
- Pasibzal con Quercíneas
- Arbolado denso de Coníferas
- Matorral denso con Coníferas
- Matorral disperso con Coníferas



C.50. Distribución espacial y estadística de formaciones arboladas de quercíneas y coníferas (p. 375).



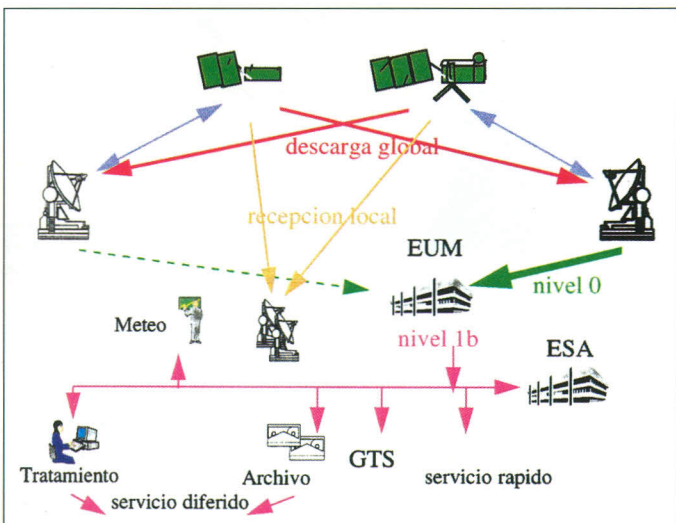
C.51. Franjas interferométricas (p. 440).



C.52. Irradiancia global diaria para el día 23 de junio de 1991. Expresada en unidades kWh/m² (p. 494).



C.53. Imagen del 26-04-95 a las 12:00 clasificada en 8 clases (p. 512).



C.54. Acceso a datos de los satélites polares NOAA y METOP (p. 520).



C.55. Disposición de la carga útil en la plataforma ENVISAT-1.